

# InSb 红外双稳器件参数的优化设计

崔成武 龙爱群 孙德贵

(山东大学光学系)

**摘要**——本文用定态方程数值计算方法研究了 InSb 半导体双稳器件的参数优化设计问题。

## 一、定态方程和透射定态曲线

本文研究的双稳器件为 77K 的 InSb 薄片，进行数值计算的基础是双稳定态方程<sup>[1~4]</sup>:

$$x = y [1 + F \sin^2(y + \delta)] \quad (1)$$

这里，

$$x = (2\pi n_2 L / \lambda) I_0 / A, \quad (2)$$

$$y = (2\pi n_2 L / \lambda) I_T / C \quad (3)$$

$$= (2\pi n_2 L / \lambda) (I_0 - I_R) / B, \quad (4)$$

$$A = \alpha L (1 - R_a)^2 / [(1 - R_F) (1 + R_B e^{-\alpha L}) (1 - e^{-\alpha L})], \quad (5)$$

$$B = \alpha L (1 - R_a^2 / R_F) / [(1 + R_B e^{-\alpha L}) (1 - e^{-\alpha L})], \quad (6)$$

$$C = \alpha L (1 - R_B) e^{-\alpha L} / [(1 + R_B e^{-\alpha L}) (1 - e^{-\alpha L})], \quad (7)$$

$$F = 4R_a / [(1 - R_a)^2], \quad (8)$$

$$R_a = \sqrt{R_F R_B} e^{-\alpha L}. \quad (9)$$

以上各式中  $I_0$ 、 $I_T$  和  $I_R$  分别为入射、透射和反射光强， $\alpha$  为线性吸收系数， $L$  为 InSb 薄片厚度。 $R_F$ 、 $R_B$  分别为薄片前表面和后表面的光强反射率， $\delta$  为 InSb 薄片形成的 F-P 谐振腔的初失调，它本应包括前后表面反射所引起的位相变化，但本文中只简单地令  $\delta = 2\pi n_0 L / \lambda$ 。

77K InSb 材料的参数为：线性吸收系数  $\alpha = 80 \text{ cm}^{-1}$ ；线性部分折射率  $n_0 = 4$ ；其非线性部分折射率为  $n_2 I$ ，其中  $I$  为 InSb 内的光强， $n_2 = -3 \times 10^{-3} \text{ cm}^3 / \text{W}$ ，垂直入射激光

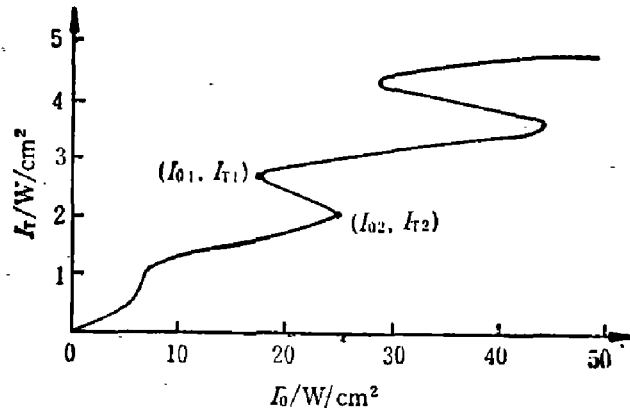


图 1  $L=135 \mu\text{m}$ ,  $R_F=0.4$ ,  $R_B=0.5$  时的透射定态曲线

Fig. 1 Transmissive steady state curve for  $L=135 \mu\text{m}$ ,  $R_F=0.4$ ,  $R_B=0.5$ .

波长  $\lambda=5.277 \mu\text{m}$ 。

我们选择定态方程中  $L$ 、 $R_F$  和  $R_B$  三个参数作为器件工艺中可以控制的参数。对不同的  $L$ 、 $R_F$  和  $R_B$  值，用计算机根据定态方程描绘出透射定态曲线和反射定态曲线。图 1 是典型的透射定态曲线。多数定态曲线在出现 S 形的双稳区之前，先出现一个或几个台阶形，即这些双稳系统具有光学微分放大和光学限幅的性能。并且，一个器件一般都不止有一个 S 形双稳区，而是随着输入光强  $I_0$  的增加接连出现几个 S 形。有时相邻两个 S 形双稳区的输入光强还可出现互相重叠现象，即出现多稳态。

## 二、参数 $L$ 、 $R_F$ 和 $R_B$ 的优化设计

我们特别关注的是透射定态曲线中左边第一个 S 型双稳区，因为产生这个双稳区所需要的输入光强最小。对这一 S 型双稳区，我们将其左右两个拐点的坐标定为  $(I_{01}, I_{T1})$  和  $(I_{02}, I_{T2})$ ，参看图 1。 $I_{02}$  为双稳器件的工作光强， $\Delta I_0 \equiv I_{02} - I_{01}$  为双稳区的开关（输入光强）范围， $\Delta I_T = I_{T2} - I_{T1}$  为双稳区输出光强的变化幅度（也称调制幅度），这些参量都可作为表征双稳器件性能优劣的指标。在研制透射型 InSb 双稳器件时，通常选择适当的  $L$ 、 $R_F$  和  $R_B$  值，使得  $I_{02}$  较小，同时使  $\Delta I_0$  值适当，而  $\Delta I_T$  则应尽可能大。本文的目的是通过数值计算了解  $I_{02}$ 、 $\Delta I_0$ 、 $I_{T2}$  与  $\Delta I_T$  如何随  $L$ 、 $R_F$  和  $R_B$  的变化而变化，从而为优化设计  $L$ 、 $R_F$ 、 $R_B$  提供理论依据。

由于透射定态曲线在双稳区呈 S 形，S 形两个拐点上的切线方向与纵坐标轴平行，因此，拐点坐标应同时满足式(1)和  $\frac{dx}{dy} = 0$ 。 $x$ 、 $y$  则由式(2)、(3)定义。由式(1)得：

$$\begin{aligned}\frac{dX}{dY} &= \frac{d}{dY} \{Y [1 + F \sin^2(Y + \delta)]\} \\ &= 1 + F \sin^2(Y + \delta) + 2FY \sin(Y + \delta) \cos(Y + \delta),\end{aligned}$$

令： $\frac{dX}{dY} = 0$ ，则得

$$Y = -\frac{1 + F \sin^2(Y + \delta)}{2F \sin(Y + \delta) \cos(Y + \delta)},$$

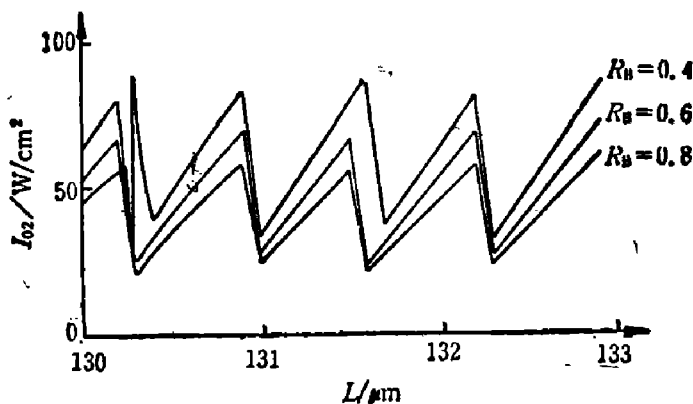


图 2  $R_F=0.9$ 、 $R_B$  取不同值时  $I_{02}$  随  $L$  的变化曲线

Fig. 2  $I_{02}$  vs  $L$  curves for  $R_F=0.9$  and different  $R'_B$ .

再令：

$$Y + \delta = \psi, \quad (10)$$

得

$$Y = -\frac{1 + F \sin^2 \psi}{2F \sin \psi \cos \psi}. \quad (11)$$

对于给定的一组  $L$ 、 $R_F$  和  $R_B$  值，用计算机数值计算求解式(10)和式(11)，求得透射定态曲线中左边第一个 S 形双稳区的两个拐点的  $y$  值，将求得的  $y$  值代入式(1)可得到相应的  $x$  坐标，然后由式(2)或式(3)算出  $I_{01}$ 、 $I_{T1}$  和  $I_{02}$ 、 $I_{T2}$ ，从而得到  $\Delta I_0$  与  $\Delta I_T$ 。

图 2~5 分别给出了  $I_{02}$ 、 $\Delta I_0$ 、 $I_{T2}$  及  $\Delta I_T$  变化的典型曲线。可以看出，这 4 个参数值均

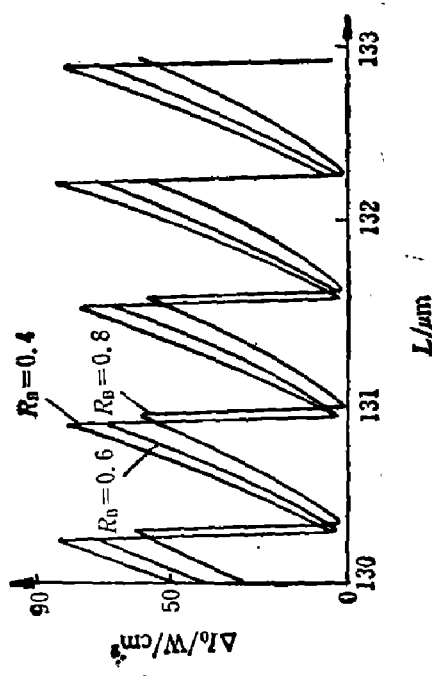


图 3  $R_p=0.9$ 、 $R_s$  取不同值时  $\Delta I_0$  随  $L$  的变化曲线

Fig. 3  $\Delta I_0$  vs  $L$  curves for  $R_p=0.9$  and different  $R'_s$ .

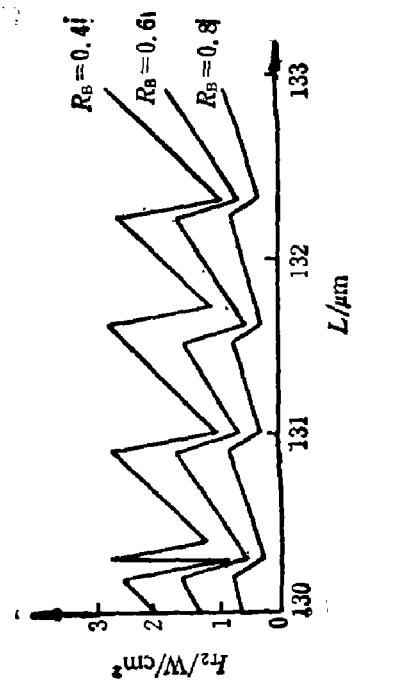


图 4  $R_p=0.9$ 、 $R_s$  取不同值时  $I_{T2}$  随  $L$  的变化曲线

Fig. 4  $I_{T2}$  vs  $L$  curves for  $R_p=0.9$  and different  $R'_s$ .

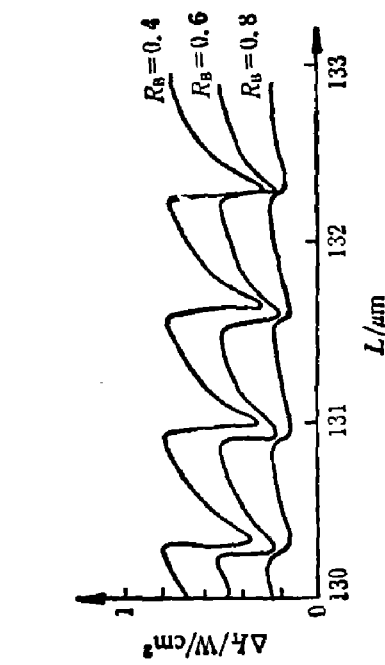


图 5  $R_p=0.9$ 、 $R_s$  取不同值时  $\Delta I_T$  随  $L$  的变化曲线

Fig. 5  $\Delta I_T$  vs  $L$  curves for  $R_p=0.9$  and different  $R'_s$ .

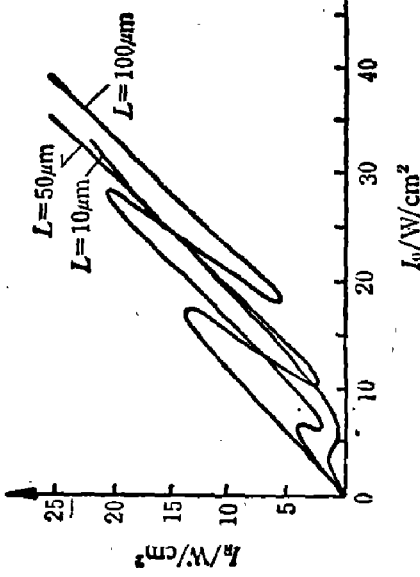


图 6  $R_p=0.4$ 、 $R_s=0.5$ 、 $L$  取不同值时的反射定态曲线

Fig. 6 Reflective steady state curves for  $R_p=0.4$ ,  $R_s=0.5$  and different  $L$ s.

图 6  $R_p=0.4$ 、 $R_s=0.5$ 、 $L$  取不同值时的反射定态曲线

Fig. 6 Reflective steady state curves for  $R_p=0.4$ ,  $R_s=0.5$  and different  $L$ s.

随  $L$  作周期变化, 周期不到  $1 \mu\text{m}$ 。因此, 欲控制器件的工作光强  $I_{02}$ 、开关范围  $\Delta I_0$  及输出光强的调制幅度  $\Delta I_T$  等参量, 必须将器件厚度的精确度控制在  $1 \mu\text{m}$  以内, 否则器件的  $I_{02}$ 、 $\Delta I_0$  等指标将是该器件各部分厚度所对应值的平均值。不同器件的厚度如果在微米数量级上参差不齐, 它们的工作参数也将参差不齐。

表 1 列出了对于不同的  $R_F$  和  $R_B$ ,  $L$  在微米量级上的变化所对应的  $\Delta I_0$  最大范围  $\Delta I_{0\max}$  及  $\Delta I_T$  最大和最小范围  $\Delta I_{T\max}$ 、 $\Delta I_{T\min}$ 。表 2 列出了当  $L=130 \mu\text{m}$  时, 不同的  $R_F$ 、 $R_B$  值所对应的  $I_{02}$ 、 $\Delta I_0$ 、 $I_{T2}$ 、 $\Delta I_T$  值。

表 1 对于不同的  $R_F$  和  $R_B$ ,  $L$  的变化所对应的  $\Delta I_{0\max}$ 、 $\Delta I_{T\max}$  及  $\Delta I_{T\min}$  值\*

Table 1  $\Delta I_{0\max}$ ,  $\Delta I_{T\max}$  and  $\Delta I_{T\min}$  values corresponding to variation of  $L$  for different  $R_F$  and  $R_B$ .

$R_B$	$R_F=0.3$			$R_F=0.5$			$R_F=0.9$		
	$\Delta I_{0\max}$	$\Delta I_{T\max}$	$\Delta I_{T\min}$	$\Delta I_{0\max}$	$\Delta I_{T\max}$	$\Delta I_{T\min}$	$\Delta I_{0\max}$	$\Delta I_{T\max}$	$\Delta I_{T\min}$
0.4	5.0	0.76	0.26	11.0	0.76	0.30	82.0	0.80	0.34
0.6	4.5	0.48	0.20	9.0	0.46	0.18	79.0	0.52	0.24
0.8	4.0	0.26	0.10	8.0	0.24	0.14	60.0	0.26	0.16

\* 各参数均以  $\text{W}/\text{cm}^2$  为单位。

表 2  $L=130 \mu\text{m}$  时不同的  $R_F$ 、 $R_B$  所对应的  $I_{02}$ 、 $\Delta I_0$ 、 $I_{T2}$ 、 $\Delta I_T$  的值\*

Table 2  $I_{02}$ ,  $\Delta I_0$ ,  $I_{T2}$  and  $\Delta I_T$  values corresponding to different  $R_F$  and  $R_B$  for  $L=130 \mu\text{m}$ .

$R_B$	$R_F=0.3$				$R_F=0.5$				$R_F=0.9$			
	$I_{02}$	$\Delta I_0$	$I_{T2}$	$\Delta I_T$	$I_{02}$	$\Delta I_0$	$I_{T2}$	$\Delta I_T$	$I_{02}$	$\Delta I_0$	$I_{T2}$	$\Delta I_T$
0.4	12.0	3.0	2.0	0.48	16.0	5.0	2.2	0.56	62.5	48.0	2.0	0.70
0.6	11.0	2.5	1.3	0.36	14.0	4.0	1.4	0.40	50.0	40.0	1.3	0.48
0.8	10.0	2.0	0.6	0.20	12.0	3.0	0.6	0.20	45.0	30.0	0.6	0.24

\* 各参数均以  $\text{W}/\text{cm}^2$  为单位。

从表 1、表 2 以及图 2~5 可得出以下几点结论: (1)  $R_F$  值不变, 增加  $R_B$  能使  $I_{02}$  相对下降。适当降低器件前表面反射率  $R_F$  并适当提高后表面反射率  $R_B$ , 能使器件的工作光强  $I_{02}$  变小。(2) 开关范围随  $R_F$  与  $R_B$  而异, 主要取决于  $R_F$ , 当  $R_F$  小到 0.3 时, 最大开关范围  $\Delta I_{0\max}$  只有几个  $\text{W}/\text{cm}^2$ ; 当  $R_F=0.9$  时, 最大开关范围  $\Delta I_{0\max}$  可达  $80 \text{ W}/\text{cm}^2$ 。(3) 输出光强  $I_{T2}$  受  $R_F$  的影响并不大,  $R_B$  增加使  $I_{T2}$  相应地减小。(4)  $R_F$  对  $\Delta I_T$  的影响不大,  $R_B$  增加时  $\Delta I_T$  减小,  $\Delta I_T$  最大可达  $0.8 \text{ W}/\text{cm}^2$ , 最小时只有  $0.2 \text{ W}/\text{cm}^2$ 。

### 三、反射型 InSb 红外双稳器件的定态曲线

图 6 为根据式(1)、(2)、(4)算得的反射型 InSb 双稳器件的定态曲线。对反射型双稳曲线请参看参考文献[3]。

致谢——本文工作是在陈继述、丁兰英两位老师指导下完成的, 特此致谢。

## 参 考 文 献

- [1] Miller D. A. B, *IEEE. J. Quantum Electron.*, QE-17(1981), 312.
- [2] Wherrett B. S. *IEEE. J. Quantum Electron.*, QE-20(1984), 646.
- [3] Miller A., Parry G. and Daley R., *IEEE. Quantum Electron.*, QE-20(1984), 710.
- [4] 陈继述, 1985 年中国光学学会年会论文摘要汇编, p. 192.

## OPTIMAL DESIGN OF PARAMETERS OF InSb INFRARED BISTABLE DEVICES

CUI CHENGWU, LONG AIQUN, SUN DEGUI

(*Department of Optics, Shandong University*)

### ABSTRACT

Using steady state equation, the problem of optimal design of parameters of InSb infrared bistable devices is studied with digital calculation method.